

بررسی میزان بیان آنزیم تبدیل کننده‌ی TNF-a و سطح فعالیت NF-kB در پدیده‌ی تحمل به ایسکمی حاصل از هیپرکسی نورموباریک متناوب در مدل موش صحرایی سکته‌ی مغزی

دکتر مهدی رهناما^{*}، دکتر محمد رضا بیگدلی^{**}

نویسنده‌ی مسئول: زنجان، دانشگاه آزاد اسلامی، گروه زیست‌شناسی meh_rahnema@yahoo.com

دریافت: ۸۶/۱۱/۱۵ پذیرش: ۸۶/۹/۳

چکیده

مقدمه: مطالعات اخیر بیان می‌کند که هیپرکسی نورموباریک (HO) متناوب و پیوسته باعث ایجاد پدیده‌ی تحمل به ایسکمی به منظور کاهش آسیب‌های مغزی حاصل از ایسکمی می‌شود. هدف از این مطالعه بررسی اثر هیپرکسی متناوب به تنها بیان و هیپرکسی متناوب توأم با ایسکمی بر تغییرات بیان آنزیم تبدیل کننده‌ی TNF-a و سطح فعالیت NF-kB است.

روش بررسی: ۴۰ سر موش صحرایی به دو گروه آزمایشی تقسیم شدند و هر گروه حاوی حدود ۲۰ حیوان بود. گروه اول به صورت متناوب (۴ ساعت در روز به مدت ۶ روز) در معرض اکسیژن ۹۵ درصد قرار گرفتند (InHO). گروه دوم به عنوان گروه کنترل نظری گروه اول به صورت متناوب (۴ ساعت در روز به مدت ۶ روز) در معرض اکسیژن ۲۱ درصد (هوای اتاق) قرار گرفتند (InRA). هر گروه به سه زیرگروه به نام زیرگروه انسداد شریان مرکزی مغز (MCAO)، گروه شم (MCAO) (جراحی بدون ایسکمی) و زیرگروه دست‌نخورده (بدون هیچ گونه جراحی) تقسیم شدند. بعد از ۲۴ ساعت برقراری جریان خون مجدد بعد از ۶۰ دقیقه ایسکمی، میزان نقص نورولوژیک (NDS) و حجم آسیب بافتی در زیرگروه MCAO بررسی شد. بالافاصله و ۲۸ ساعت بعد از پیش درمان، نمونه‌گیری به منظور اندازه‌گیری سطح فعالیت NF-kB انجام شد. به این ترتیب اثر HO و ایسکمی بر روی تغییرات بیان ناقلين اسیدهای آمینه‌ی تحریکی (EAATs) و سطح فعالیت NF-kB مورد سنجش قرار گرفت.

یافته‌ها: پیش‌شرطی سازی با HO و ایسکمی متناوب باعث کاهش میزان نقص نورولوژیک و حجم سکته‌ی مغزی می‌شود. پیش درمان با HO متناوب باعث افزایش بیان آنزیم تبدیل کننده‌ی TNF-a و سطح فعالیت NF-kB می‌شود.

نتیجه‌گیری: اگرچه مطالعات بیشتری برای وضوح مکانیسم‌های تحمل به ایسکمی لازم است، اما HO متناوب و ایسکمی ظاهرًا تا حدی آثارشان را از طریق افزایش بیان آنزیم تبدیل کننده‌ی TNF-a و سطح فعالیت NF-kB انجام می‌دهد.

واژگان کلیدی: هیپرکسی نورموباریک، تحمل به ایسکمی مغزی، سکته‌ی مغزی، ناقلين اسیدهای آمینه‌ی تحریکی، سطح فعالیت NF-kB

مقدمه

مغز را در برابر استرس‌های دیگر حاصل از همین تحریکات آسیب‌رسان (تحمل) یا دیگر تحریکات آسیب‌رسان (تحمل

تحریکات آسیب‌رسان در دوزهای پایین و کم، البته زیر آستانه‌ی آسیب‌رسان به سلول، پاسخ سازشی القا می‌کند که

* دکترا تخصصی فیزیولوژی، استادیار دانشگاه آزاد اسلامی زنجان

** دکترا تخصصی فیزیولوژی، استادیار دانشگاه آزاد اسلامی زنجان

عمل می‌کند (۲۳). هم‌چنین، محققین اخیراً نشان داده‌اند که بعد از پیش‌شرطی‌سازی به ایسکمی به واسطه‌ی برخی عوامل مانند القای محرومیت اکسیژن و گلوکز در شرایط *in vitro* آنزیم (TACE) [Tumor Necrosis Factor-α Converting Enzyme] (TNF-α) دچار تنظیم افزایشی می‌شود و نقش حیاتی در حفاظت مغزی ایفا می‌کند (۲۴). نتایج نشان می‌دهد که افزایش القای محرومیت اکسیژن و گلوکز (OGD)، Oxygen Glucose Deprivation [OGD] (آکسیژن و گلوکز) (۲۵)، گلوتامات خارج‌سلولی را در محیط‌های کشت که در معرض پیش‌شرطی‌سازی به ایسکمی قرار می‌گیرند پایین می‌آورد. این اثر توسط BB3103 (مهارکننده TACE) و آنتی TNF-α بلوک می‌شود و با انکوباسیون قبلی با TNF-α تقليد می‌گردد (۳). بنابراین در گیری آنزیم TACE و TNF-α در پیش‌شرطی‌سازی حاصل از محرومیت اکسیژن و گلوکز در *in vitro* به اثبات رسیده است (۱، ۲۱ و ۲۴). اما اثر شرایط *in vivo* بر میزان بیان ژن آنزیم تبدیل کننده‌ی TNF-α و هیرکسی بر میزان سرمه در شرایط *in vitro* و *in vivo* هنوز سطح سرمه TNF-α در شرایط *in vitro* به اثبات رسیده است. در این مطالعه اثر هیرکسی نورموباریک متناوب به تنها ی و هیرکسی توأم با ایسکمی بر تغییرات بیان آنزیم تبدیل کننده‌ی TNF-α (TACE) و فعالیت NF-kB مورد بررسی قرار می‌گیرند.

روش بررسی

گروه بندی حیوان آزمایشگاهی: موش‌های صحرابی اسپیراگو- دالی ۲۵۰ تا ۳۵۰ گرم به طور تصادفی به دو گروه حاوی ۲۰ حیوان تقسیم گردید. گروه اول در درون جعبه‌ی اکسیژن با غلاظت بالای ۹۰ درصد تحت عنوان شرایط هیرکسی قرار داده شدند. به طوری که به صورت متناوب (۴ ساعت در روز به مدت ۶ روز) در معرض اکسیژن بالای ۹۰ درصد قرار گرفتند (InHO). گروه دیگر وضعیت مشابه با گروه اول داشتند با این تفاوت که به صورت متناوب (۴ ساعت در روز به مدت ۶ روز) در معرض اکسیژن

متقابل) حفاظت می‌کند (۱). در بین استرس‌های مختلف، هیپوکسی (۲)، ایسکمی (۳)، تشنج (۴)، آنوكسی (۵)، افسردگی متشر (۶)، گرما (۷)، استرس اکسیداتیو (۸)، تیمار با اسیدهای چرب اشباع نشده (۹) و مهارکننده‌های فسفوریلاسیون اکسیداتیو (۱۰) فرآیند تحمل مغز در برابر ایسکمی (کامل یا کانونی) را القا می‌کنند. چندین گزارش وجود دارد که هیپرکسی نیز باعث بروز تحمل به ایسکمی می‌شود (۱۱، ۱۲).

پیش‌شرطی‌سازی برای ایجاد تحمل به ایسکمی پدیده‌ای است که در آن دوره‌های کوتاه آسیب خفیف زیرکشند، حفاظت قدرتمندی در برابر آثار زیان‌آور ایسکمی کشند، طولانی و متواالی القا می‌کند (۱۳). تحریکات زیرکشند که شالوده‌ی واقعه‌ی پیش‌شرطی‌سازی را می‌سازد کاملاً متنوع است که در بالا ذکر شد. به این ترتیب، محدوده‌ی تحمل به ایسکمی وسیع است. آثار مفید پیش‌شرطی‌سازی اولین بار در قلب نشان داده شد. اکنون روشن شده است که پیش‌شرطی‌سازی می‌تواند تحمل به ایسکمی را در اندام‌ها و دستگاه‌های مختلف از جمله مغز، قلب، کبد، روده‌ی کوچک، عضله‌ی اسکلتی و ریه‌ها القا کند (۱۴-۱۶).

فاکتور تومور نکروز-آلfa (Tumor Necrosis Factor-α) در مکانیسم‌های حفاظت مغزی در برابر آسیب‌های حاصل از ایسکمی اخیراً به مقدار زیادی مورد تأکید قرار گرفته است (۲۰-۲۷). با در نظر گرفتن نقش حفاظت مغزی TNF-α، برخی مطالعات نشان داده‌اند که TNF-α به عنوان یک میانجی کلیدی در پیش‌شرطی‌سازی ایسکمی (Ischemic Preconditioning [IPC]) عمل می‌کند (۲۲، ۲۱) (عمل می‌کند (۲۲) Ischemic Preconditioning [IPC]). TNF-α به واسطه‌ی پروتئاز متصل به غشا به حالت محلول رها می‌شود. این آنزیم به عنوان پروتئین غیرجامیت‌دهنده (دیس‌ایتگرین) و متالوپروتئیناز (A Disintegrin and Metalloproteinase [ADAM]) موسوم به آنزیم تبدیل کننده‌ی TNF-α (TACE/ADAM) (TACE/ADAM) در معرض اکسیژن

ایجاد مدل سکته‌ی مغزی (انسداد شریان مرکزی مغز) در هر دو گروه انجام شد.

ایجاد مدل سکته‌ی مغزی (انسداد شریان مرکزی مغز): موش‌ها بعد از توزین با داروی کلرات‌هیدرات (مرک، آلمان) ۴۰۰ میلی‌گرم در کیلوگرم وزن بدن) هوشبری می‌شوند. جراحی مدل‌سازی MCAO مطابق دستورالعمل لونگا و همکارانش انجام شد (۲۵). به طور خلاصه، تحت جراحی میکروسکوپی، یک نخ بخیه‌ی نایلون از طریق تنفس شریان کاروتید خارجی (External Carotid Artery [ECA]) وارد رگ شد و تا رسیدن به شریان سربرال قدامی (Anterior Cerebral Artery [ACA]) از میان شریان کاروتید داخلی (Internal Carotid Artery [ICA]) با تریگوپالاتین بسته ادامه داده شد. در اثر تماس نخ بخیه و ACA جریان خون از هر طرف به شریان سربرال میانی (Middle Cerebral Artery [MCA]) بسته شد. این بسته شدن از طریق احساس مقاومت و در پیشروع نخ و ورود حدود ۲۰ میلی‌متر طول نخ از تنفس ECA مشخص شد. بعد از ۶۰ دقیقه ایسکمی، برقراری مجدد جریان خون صورت گرفت. دمای بدن از طریق رکنوم اندازه‌گیری و میزان دما در ۳۷ درجه‌ی سانتی‌گراد حفظ شد.

ارزیابی رفتاری حاصل از سکته: معاینه‌های نورولوژیک بعد از ۲۴ ساعت انجام و در طول ۲۴ ساعت بعد از شروع انسداد تا قربانی شدن حیوان مراقبت‌های ویژه انجام شد. یافته‌های نورولوژیکی در ۵ مقیاس دسته‌بندی شدند:

شماره‌ی صفر: هیچ‌گونه عارضه‌ی نورولوژیک نشان نمی‌دادند؛ شماره‌ی یک: نارسایی کامل در انتهای پنجه‌های جلویی، که یک نقص نورولوژیک کانونی خفیف در نظر گرفته می‌شود. شماره‌ی دو: به چپ چرخیدن، نقص نورولوژیک کانونی متوسط. شماره‌ی سه: افتادن به سمت چپ نقص کانونی شدید هستند و موش‌های شماره‌ی چهار

درصد قرار گرفتند (InRA). حیوان‌ها سپس به مدت ۲۴ ساعت در هوای اتاق (۲۱ درصد) قرار داده شدند سپس هر کدام از این گروه‌ها به سه زیرگروه تقسیم شدند. زیرگروه‌های اول به مدت ۶۰ دقیقه تحت جراحی انسداد شریان مرکزی (MCAO) قرار گرفته و ۲۴ ساعت بعد از لحظه نقص‌های حرکتی نورولوژیک مورد مطالعه قرار گرفتند. زیرگروه‌های دوم به عنوان گروه شم پروتوكل آزمایشی گروه اول را دریافت کردند با این تفاوت که جراحی بدون MCAO در این حیوانات صورت گرفت. زیرگروه‌های سوم به عنوان گروه دست نخورده پروتوكل آزمایشی گروه اول را دریافت کردند با این تفاوت که هیچ‌گونه جراحی در آن‌ها صورت نگرفت. این دو گروه برای بررسی اثر خالص پیش‌شرطی سازی با هیپرکسی نورموباریک متناسب بر میزان بیان آنزیم تبدیل کننده‌ی TNF-a (TACE) و سطح Phospho-IκBα طراحی شده بودند. برای ارزیابی سطح Phospho-IκBα در زیرگروه‌های دوم و سوم، بلا فاصله و ۴۸ ساعت بعد از پیش‌درمان با هیپرکسی نورموباریک نمونه‌گیری انجام شد.

جعبه‌ی هیپرکسی: ۹ موش صحرایی در داخل یک جعبه که تمامی درزهای آن به طور کامل گرفته شده است در ابعاد $۳۰ \times ۳۵ \times ۶۵$ با دو مجرای ورودی و خروجی قرار داده شدند. ماده‌ای به نام آهک سوددار (soda lime) (جادب دی‌اکسیدکربن) در زیر جعبه قرار داده شد تا دی‌اکسیدکربن تولیدی را جذب کند. به این ترتیب، امکان تغییر غلظت گاز داخل جعبه به حداقل رسید. اکسیژن خالص $۹۵\text{ درصد} = \text{F}_1\text{O}_2$ یا هوای اتاق در میزان ۳ لیتر در دقیقه برای تیمار جانوران به جعبه‌ی حاوی موش‌ها متصل شد. برای افزایش دقیقت آزمایش یک الکترود سنجش اکسیژن نیز در کنار جعبه تعییه شد تا غلظت اکسیژن داخل جعبه را اندازه‌گیری کند. سنجش گازهای شریانی

مرحله‌ی بعد حدود ۱۵۰ میلی‌گرم از بافت مغز (۴۸ ساعت بعد از پایان هیپرکسی پیوسته و متناوب یا نورموکسی) از ناحیه‌ی همسو با ناحیه‌ی آسیب مغزی را جدا کردیم. بافت جدا شده را در دمای ۴ درجه‌ی سانتی‌گراد در ۴ حجم حاوی بافر هموژن قرار دادیم (۲۳) سپس به واسطه‌ی دستگاه سونیکاتور به مدت ۱۰ ثانیه، ۰/۵ دور در ثانیه و دامنه ۶۰ درصد بافت مغزی را هموژن کردیم. پس از آن به مدت ۱۰ دقیقه بافر حاوی محلول هموژن را با سرعت ۹۰۰۰ دور در دقیقه در دمای ۴ درجه سانتی‌گراد در محلول ۲ درصد ۳،۲ و ۵ میکرولیتر محلول هموژن را با بافر نمونه $\times 2$ مخلوط کرده و به مدت ۵ دقیقه جوشاندیم. ۴۰ میکروگرم از آن را روی چاهک‌های ژل لود کردیم، هم‌چنین نرdban وزن مولکولی پروتئینی (SM0671، فرمتاز) به اندازه‌ی ۵ میکرولیتر در یکی از چاهک‌ها لود شد. پروتئین‌ها بر اساس اندازه در ۱۰ SDS-PAGE

قبل از اضافه کردن آنتی‌بادی پروتئین‌های مورد نظر، غشای PVDF توسط ماده‌ی بلسوک کننده (آمرشام، GE Healthcare) به مدت یک ساعت بلوک شد. پروتئین‌ها بر روی غشای PVDF با آنتی‌بادی‌های پلی‌کلونال اختصاصی علیه آنزیم تبدیل کننده‌ی TNF-a (Prosci-incorporated) با رقت ۱:۲۰۰۰ حاصل از بزر یا با آنتی‌بادی اختصاصی علیه بتا-اکتین (Prosci-incorporated) به مدت یک ساعت انکوبه شدند. آنزیم تبدیل کننده‌ی TNF-a و بتا-اکتین به واسطه‌ی آنتی‌بادی اختصاصی اولیه شناسایی شدند و به آن‌ها اتصال یافتدند سپس آنتی‌بادی‌های ثانویه اختصاصی خرگوش متصل به (Horse Radish Peroxidase [HRP]) (دانمارک، داکوساتیومیشن) برای شناسایی آنتی‌بادی‌های علیه آنزیم تبدیل کننده‌ی TNF-a و بتا-اکتین با رقت ۱/۱۰۰۰۰ مورد استفاده قرار گرفت. انکوباسیون آنتی‌بادی ثانویه به مدت یک ساعت در دمای اتاق صورت گرفت. بعد از شستشوی غشای

به طور خود بخودی نمی‌توانند راه بروند و سطح هوشیاری پایین دارند.

ارزیابی حجم سکته‌ی مغزی: بعد از قربانی کردن موش‌ها با کلرال‌هیدرات (۸۰۰ میلی‌گرم در کیلوگرم وزن بدن)، سر آن‌ها جدا و به سرعت مغزها خارج و در سالین ۴ درجه به مدت ۱۵ دقیقه نگهداری شدند. هشت برش به ضخامت ۲ میلی‌متر به صورت کرونال به واسطه‌ی دستگاه ماتریکس مغز تهیه شد که شروع آن‌ها از پیاز بويایي بود. برش‌ها به مدت ۱۵ دقیقه در دمای ۳۷ درجه سانتی‌گراد در محلول ۲ درصد ۳،۲ و ۵ تری‌فینیل‌تترازولیوم کلرايد نگهداری شده سپس با دوربین دیجیتال (نوكیا ۶۶۳۰) که قابل اتصال به کامپیوتر بود تصویربرداری شدند. بعد از انتقال تصاویر به کامپیوتر به واسطه‌ی نرم‌افزار Image Tools، مساحت نواحی آسیب دیده و سالم اندازه‌گیری شدند. حجم نواحی آسیب دیده و سالم اندازه‌گیری شدند. حجم نواحی آسیب دیده و سالم برش‌ها از طریق محاسبه‌ی حاصل ضرب مساحت نواحی مذکور برش‌ها در ضخامت ۲ میلی‌متر برش به دست آمد و سپس به واسطه‌ی معادله‌ی زیر حجم اصلاح شده‌ی ناحیه‌ی آسیب دیده محاسبه شد (۲۶):

$$\text{حجم نیمکره‌ی چپ} = \text{حجم اصلاح شده‌ی ناحیه‌ی آسیب دیده} - (\text{حجم ناحیه‌ی آسیب دیده} - \text{حجم نیمکره‌ی راست})$$

آنالیز وسترن بلاست آنزیم تبدیل کننده‌ی TNF-a: ابتدا برای هموژن کردن بافت مغز بافر هموژن را به صورت زیر آماده می‌کردیم. بافر حاوی ۳۲۰ میلی‌مolar سوکروز (مرک، آلمان)، یک میلی‌مolar دی-آل دی تیوتوریتول، ۱۰ میکروگرم در میلی‌لیتر مهارکننده‌ی تریپیسین سویین (مرک، آلمان)، ۲/۰ درصد SDS (مرک، آلمان) ۱۰۰ میکرومولار او-۱۰-فنانترولین (مرک، آلمان)، یک درصد PMSF و ۵۰ میلی‌مولا رتریس (بوهرینگر-مانهیم، آلمان)، بود که در دمای ۲۰ درجه‌ی سانتی‌گراد با pH=۷ HCl به ۷ رسانده شد (۳). در

انکوبه شد. بعد از شستشو Strep-HRP با رقت ۱:۱۰۰۰ اضافه و به مدت یک ساعت در دمای اتاق انکوبه می‌شد. بعد از شستشو، محلول سوبسترا به چاهک‌ها اضافه و در فاصله ۲ تا ۱۰ دقیقه بعد از افزودن سوبسترا میزان نور تولیدی توسط لومیناتور (چین، کمولومیناسانس ایمونوواسی آنالیزر) اندازه‌گیری شد.

تحلیل نتایج و روش‌های آنالیز آماری: داده‌ها به صورت میانگین + انحراف معیار بیان شده است. غلظت Phospho-IκBα، میزان بیان آنژیم تبدیل کننده TNF- α گازهای خونی شریانی و حجم آسیب بافتی از طریق تست آنواری یک طرفه و T-Test محاسبه شده‌اند. امتیاز نقص‌های نورولوژیک با استفاده از Mann-Whitney U Test آنالیز شده است. $P < 0.05$ معنی دار در نظر گرفته شده است.

بافت‌های

پارامترهای شرایط آزمایش: براساس ارزیابی‌های آزمایش گازهای خون شریانی (ABG) فشار اکسیژن شریانی در شرایط هیپرکسی بسیار بالاتر از فشار اکسیژن شریانی در شرایط نورموکسی است (جدول ۱).

PVDF مخلوطی از سوبسترا A، B، (آمرشام ECL) در تاریکی بر روی غشا اضافه می‌شد و در اثر واکنش آن‌ها با HRP نور تولید شد. آن گاه فیلم حساس رادیولوژی را به مدت ۱ دقیقه بر روی بلات قرار دادیم تا فیلم رادیولوژی را متأثر سازد. به این ترتیب وجود پروتئین آشکار شد.

آزمایش الیزا Phospho-IκBα: بعد از نمونه‌گیری مغزی، Phospho-IκBα به واسطه‌ی کیت اندازه‌گیری Phospho-IκBα براساس دستورالعمل کیت انجام شد (بیوکمیکال، آلکسیس). به طور خلاصه، ۵ میلی‌گرم از بافت مغزی ناحیه‌ی همسو در نیمکره‌ی غیرایسکمی در محلول بافر فسفات سرد در دمای ۴ درجه جدا و دو بار به مدت ۵ دقیقه سانتریفوژ شد. سپس حجم معادلی از بافر لیزکننده به حجم بافت اضافه و به مدت ۳۰ دقیقه در دمای ۴ درجه انکوبه شد.

آن‌گاه، به مدت ۱۰ دقیقه در دمای ۴ درجه با سرعت ۱۲۰۰ دور در دقیقه سانتریفوژ گردید. محلول سوپرناتانت برای اندازه‌گیری غلظت پروتئین جمع‌آوری شد. محلول سلول‌های لیز شده تا غلظت ۱ میلی‌گرم در میلی‌لیتر در بافر بلوك‌کننده رقیق شد. سپس آنتی‌بادی آشکارکننده در محلول بلوك‌کننده با رقت ۱:۲۰۰ اضافه و به مدت یک ساعت در دمای اتاق

جدول ۱: وضعیت گازهای خون شریانی و تنفسی در پایان تیمار با هیپرکسی نورموباریک

میزان تنفس (هرتز)	PO ₂ (mmHg)	PCO ₂ (mmHg)	pH	گروه‌های آزمایشی
۱/۶۲±۰/۰۹	۹۲/۸±۳/۳	۴۱/۱۶±۱/۴	۷/۴±۰/۰۳	RA متناوب
۱/۳۷±۰/۱	۳۵۱/۱±۱۷/۶	۳۹/۲±۱/۹	۷/۳±۰/۰۲	HO متناوب

قابل ملاحظه کاهش می‌یابد. میانه‌ی امتیازهای نقص نورولوژیک در گروه‌های هیپرکسی نورموباریک متناوب و نورموکسی نورموباریک متناوب و در جدول ۲ نشان داده شده است.

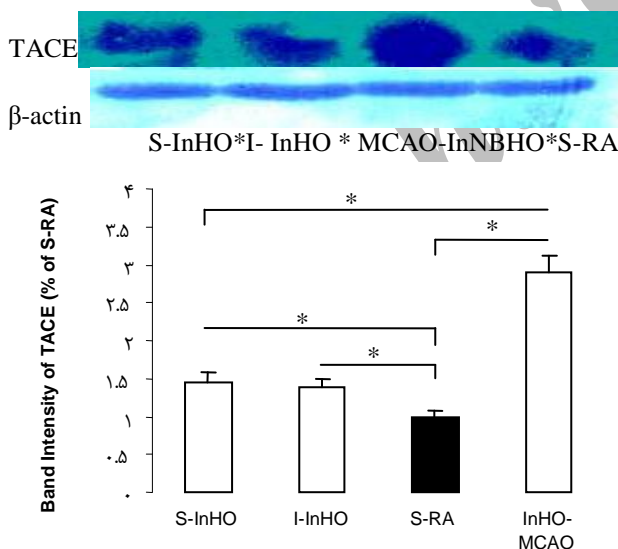
آثار هیپرکسی نورموباریک متناوب بر امتیازهای نقص نورولوژیک: میانه‌ی امتیازهای نقص نورولوژیک (Nuerologic Defect Score [NDS]) به واسطه‌ی قرارگیری در معرض هیپرکسی نورموباریک به طور

جدول ۲: توزیع امتیازهای نورولوژیک در هر گروه و مقایسه‌ی آماری آن‌ها

شماره	گروه‌های آزمایشی	تعداد نقص‌های نورولوژیک در هر گروه	تعداد کل					میانه	نتایج آماری (مقدار P)
			۵	۴	۳	۲	۱		
۱	RA متناوب	۰	۰	۲	۴	۲	۰	۲	۰.۰۵ < P < ۰.۰۵ معنی دار
۲	HO متناوب	۰	۰	۱	۳	۳	۰	۷	۰.۰۵ < P < ۰.۰۵ معنی دار

همان‌طوری که ملاحظه می‌کنید مقایسه‌ی گروه‌های ردیف ۱ است.

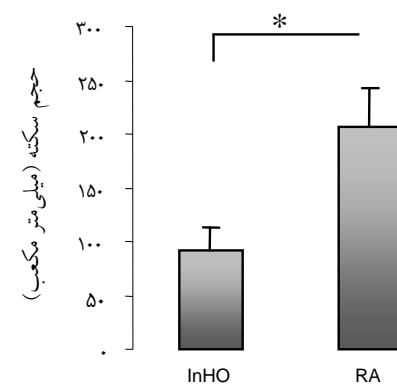
حاصل از هیپرکسی را اثبات می‌کند (شکل ۱). اثر هیپرکسی نورموباریک متناوب و هیپرکسی نورموباریک متناوب توأم با ایسکمی بر بیان ژن آنزیم تبدیل کننده TNF-a: شکل ۲ نشان می‌دهد که هیپرکسی نورموباریک متناوب (S-InHO) در مقایسه با نورموکسی نورموباریک (S-RA) باعث افزایش بیان ژن آنزیم تبدیل کننده TNF-a می‌شوند. اثر توأم هیپرکسی نورموباریک متناوب و ایسکمی (MCAO-InHO) در مقایسه با نورموکسی نورموباریک باعث افزایش بیان ژن آنزیم تبدیل کننده TNF-a شده است. تفاوت آماری گروه‌های مذکور معنی دار است ($P < 0.01$) (شکل ۲).



شکل ۲: آنالیز وسترن بلات ناقل گلوتامات شماره‌ی ۳ در گروه شم (S) و دست نخورده (I) هیپرکسی نورموباریک متناوب به تنها بی (InHO) و هیپرکسی نورموباریک متناوب توأم با ایسکمی (MCAO-InHO) در مقایسه با نورموکسی نورموباریک (RA).

در موش‌هایی که به واسطه‌ی قرارگرفتن در معرض هیپرکسی هیچ‌گونه نقص نورولوژیک مشاهده نشده بود، با تزریق اوانس آبی، این رنگ در ناحیه‌ی مرکزی سکته متشاهده شد. این مدرک نشان می‌دهد که در کلیه‌ی موش‌های مذکور انسداد شریان مرکزی مغز صورت گرفته ولی به دلیل بروز پدیده‌ی تحمل به ایسکمی القایی هیپرکسی به ویژه در ناحیه‌ی پنومرا استحکام سد خونی - مغزی افزایش یافته است.

اثر هیپرکسی نورموباریک متناوب بر حجم سکته مغزی: شکل ۱ نشان می‌دهد که هیپرکسی نورموباریک متناوب (InHO) در مقایسه با نورموکسی نورموباریک (RA) باعث کاهش حجم آسیب بافتی می‌شود.

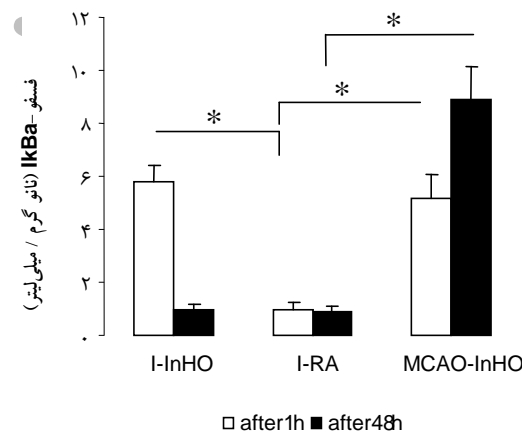


شکل ۱: حجم آسیب بافتی حاصل از سکته مغزی در گروه‌های آزمایشی هیپرکسی نورموباریک متناوب (InHO) و هوای اتاق (RA).

تفاوت آماری گروه‌های هیپرکسی نورموباریک متناوب (InHO) نسبت به گروه شم نورموکسی نورموباریک معنی دار است ($P < 0.01$). کاهش حجم آسیب بافتی و نقص‌های نورولوژیک اثر پدیده‌ی تحمل به ایسکمی

محدوده‌ی طبیعی نگاه داشته می‌شد. البته، در گروه‌های هیپرکسی به علت غلظت بالای اکسیژن، محتوی اکسیژن افزایش و فرکانس تنفس کاهش می‌یافتد. نتایج این مطالعه نشان می‌دهد که هیپرکسی نورموباریک متناوب به علت کاهش امتیاز نقص نورولوژیک در اثر ۶۰ دقیقه ایسکمی در مقایسه با گروه نورموکسی نورموباریک، باعث ایجاد قابلیت تحمل به ایسکمی شده است. ژانگ و همکارانش نیز با انجام این آزمایش پدیده‌ی تحمل به ایسکمی بعد از ۲۴ ساعت هیپرکسی نورموباریک پیوسته را گزارش کردند. هم چنین ۲۴ گزارش کردند که هیپرکسی نورموباریک پیوسته کمتر از ۲۴ ساعت پدیده‌ی تحمل به ایسکمی را نشان نمی‌دهند و با تزریق رفتگرهای (Reactive Oxygen Species [ROS]) در دقیقاً قبل از ۲۴ ساعت هیپرکسی نورموباریک پیوسته پدیده‌ی تحمل به ایسکمی نشان داده نشده است (۱۱). نتایج این پژوهش با نتایج ژانگ و همکارانش همخوانی دارد. بنابراین، هیپرکسی نورموباریک متناوب احتمالاً با افزایش ROS مسیر پیامرانی سلولی پیش‌شرطی‌سازی ایسکمی را به راه می‌اندازد. در پژوهش‌های قبل نشان داده شده است که هیپرکسی نورموباریک متناوب باعث ایجاد تحمل به ایسکمی در مغز می‌شود (۱۳). هم‌چنین نشان داده شده است که ۴ ساعت هیپرکسی نورموباریک منفرد پدیده‌ی تحمل به ایسکمی را در مغز نشان نمی‌دهد (۱۱). دونگ و همکارانش نشان داده‌اند که پیش‌درمان با هیپرکسی هیپرباریک ۲/۵ اتمسفر) و هیپرکسی نورموباریک به صورت یک ساعت در روز به مدت ۵ روز باعث ایجاد پدیده‌ی تحمل به ایسکمی در نخاع خرگوش شده است (۱۲). نتایج پژوهش حاضر نتایج دونگ و همکارانش را تأیید می‌کند. بنابراین، تحمل به ایسکمی در بافت‌های مغزی مورد آزمایش بر اساس مدت زمان و مقدار غلظت اکسیژن متفاوت خواهد بود. کمیت و کیفیت تجویز اکسیژن در القای تحمل به ایسکمی، عوارض جانبی و مسمومیت‌های آن بر روی بدن اهمیت دارد. نتایج

اثر هیپرکسی نورموباریک متناوب و پیوسته و هیپرکسی نورموباریک متناوب توأم با ایسکمی بر غلظت **Phospho-IκBα**: شکل ۳ نشان می‌دهد که هیپرکسی نورموباریک متناوب (I-InHO) بلافضله بعد از پیش‌درمان، در مقایسه با نورموکسی نورموباریک (I-RA) باعث افزایش غلظت فسفو- IκBα می‌شوند. اثر توأم هیپرکسی نورموباریک متناوب و ایسکمی (MCAO-InHO) در مقایسه با نورموکسی نورموباریک و هیپرکسی نورموباریک متناوب باعث افزایش غلظت فسفو- IκBα شده است ($P < 0.01$). هیپرکسی نورموباریک متناوب (I-InHO) بعد از ۴۸ ساعت از پیش‌درمان، در مقایسه با نورموکسی Phospho-IκBα (I-RA) بر تغییر غلظت معنی‌دار نیست. تفاوت آماری گروه‌های مذکور و در مقایسه با نورموکسی نورموباریک معنی‌دار است ($P < 0.01$) (شکل ۳).



شکل ۳: آنالیز الیزای فسفو- $I\kappa B\alpha$ در گروه هیپرکسی نورموباریک متناوب به تنهایی (InHO) و هیپرکسی نورموباریک متناوب توأم با ایسکمی (MCAO-InHO) در مقایسه با نورموکسی نورموباریک (RA).

بحث

مدل MCAO به واسطه‌ی نخ بخیه ایجاد می‌شود و یک مدل مطمئن و قابل تکرار در مدل‌های حیوانی با سکته‌ی مغزی است (۲۷، ۲۸). شرایط فیزیولوژیک در طی آزمایش در

نشان می دهد که هیپرکسی نورموباریک متناوب به تنها و توأم با ایسکمی باعث افزایش سطح فسفو- $I\kappa B\alpha$ می شود که NF- kB به این ترتیب نشانگر افزایش سطح فعالیت است (۳۱). تاکنون گزارشی مبنی بر ایجاد تحمل به ایسکمی به واسطه ای افزایش سطح فعالیت NF- kB از طریق هیپرکسی در مغز منتشر نشده است. اما نشان داده شده است که در اثر پیش شرطی سازی ایسکمی از طریق دوره های کوتاه ایسکمی در شرایط *in vitro* سطح فعالیت NF- kB افزایش EAAT2/GLT1 می یابد (۱). همچنین TNF- α بیان *in vitro* در شرایط *in vivo* با LPS بالا افزایش می دهد و گرفتن گلوتامات را بعد از تجویز LPS می برد (۳۲). علاوه بر این TNF- α بیان و عملکرد ناقلین مواد مختلف را می افزاید بنابراین، افزایش سطح فعالیت NF- kB می تواند به عنوان یکی از عوامل ایجاد کننده پدیده هی تحمل به ایسکمی مطرح باشد. یافته های این تحقیق نیز با یافته های محققین مذکور همخوانی دارد. هم چنین شواهدی وجود دارد که ناقل گلوتامات نوع ۳ بعد از ایسکمی ناشی از MCAO دچار تنظیم افزایشی می شوند. افزایش بیان ناقل گلوتامات نوع ۳ بعد از ایسکمی ممکن است تا حدی به تولید TNF- α و مسیر (TACE/TNF- α) مرتبط باشد (۱، ۲۹). نتایج این تحقیق نیز نشان می دهد که تغییرات سطح TNF- α و میزان بیان آنزیم تبدیل کننده ROS فعالیت NF- kB رابطه هی مستقیم دارند. مطالعات نشان می دهد که اکسیژن رسانی مجدد منجر به انفجار تولید ROS می شود (میتوکندری به عنوان منبع تولید و حسگر ROS محسوب می شود) (۳۲). افزایش ROS حاصل از جریان خون مجدد باعث افزایش آسیب بافتی شده و موجب افزایش تولید TNF- α و سایر سیتوکین ها می شود. به این ترتیب TNF- α از طریق گیرنده خود احتمالاً به واسطه ای افزایش $I\kappa B$ میزان بیان ژن ناقلین گلوتامات را در سلول های عصبی افزایش می دهد (۱، ۲۹). علاوه بر این ژن های دیگری در مراحل پیش شرطی سازی وجود دارد که

این پژوهش نشان می دهد که هیپرکسی نورموباریک متناوب باعث افزایش بیان آنزیم تبدیل کننده TNF- α می شود. هم چنین اثر هیپرکسی نورموباریک متناوب توأم با ایسکمی نسبت به هیپرکسی نورموباریک متناوب به تنها وی بر افزایش بیان آنزیم تبدیل کننده TNF- α بیشتر بوده است. به عبارت دیگر، ایسکمی و هیپرکسی نورموباریک در میزان بیان ژن مؤثر است. تاکنون گزارشی مبنی بر ایجاد تحمل به ایسکمی به واسطه ای افزایش بیان آنزیم تبدیل کننده TNF- α از طریق هیپرکسی در مغز منتشر نشده است. اما نشان داده شده است که در اثر پیش شرطی سازی ایسکمی از طریق دوره های کوتاه ایسکمی در شرایط *in vitro* in vivo میزان بیان آنزیم تبدیل کننده TNF- α افزایش می یابد. در شرایط *in vivo* نیز نشان داده شده است (۲۹) که میزان بیان آنزیم تبدیل کننده TNF- α در اثر دوره های کوتاه ایسکمی تغییر می کند و با بیان ناقلین گلوتامات مرتبط است. از طرف دیگر، یاماشیتا و همکارانش در شرایط *in vivo* نقش ناقلین گلوتامات نوع ۴ و ۱ (EAAT1/GLAST و EAAT4) را در سلول های پورکیت مخچه موش جهش یافته بعد از آسیب حاصل از ایسکمی مورد بررسی قرار دادند و گزارش کردند که موش های جهش یافته ناقل گلوتامات نوع ۱ نسبت به موش های جهش یافته ناقل گلوتامات نوع ۴ آسیب پذیرتر بودند (۳۰). نتایج مزبور نشان می دهد که ناقل گلوتامات نوع ۱ می تواند نقش مهمی در جلوگیری از بروز آثار سمی حاصل از تحریک داشته باشد. بنابراین، یکی از عوامل کاهش میزان نقص های نورو洛ژیک و ایجاد پدیده تحمل به ایسکمی افزایش بیان آنزیم تبدیل کننده TNF- α و به دنبال آن افزایش بیان ناقلین گلوتامات است. هم چنین گزارش شده است که میزان ناقل گلوتامات نوع ۱ به واسطه مهار گیرنده TNF- α تغییر پیدا نمی کند (۲۹). این مطلب نشان می دهد که افزایش بیان ژن ناقل گلوتامات نوع ۱ در مسیر پیام رسانی TNF- α قرار ندارد. نتایج این پژوهش

ایسکمی بیان آنزیم تبدیل کننده TNF- α را در درجات مختلف افزایش می‌دهند. این اثر تا حدی می‌تواند تحمل به ایسکمی را میانجی گری نماید.^۳ هیپرکسی نورموباریک متناوب و هیپرکسی نورموباریک متناوب توأم با ایسکمی سطح فسفو-I κ B α را در درجات مختلف افزایش می‌دهند.^۴ استفاده از روش هیپرکسی نورموباریک متناوب برای القای پدیده تحمل به ایسکمی مناسب‌تر است. لذا، استفاده از هیپرکسی نورموباریک یا طراحی موادی که قادر به تقلید از آثار هیپرکسی نورموباریک در افزایش بیان و فعالیت ناقلین گلوتامات باشند، روش و مسیر جدیدی در کشف داروها به وجود خواهد آورد که در به حداقل رساندن آسیب‌های نورونی طی ایسکمی مغزی یا پیشروی بیماری‌های مزمن تحلیل عصبی با اثر سمی ناشی از تحریک کمک خواهد کرد.

باعث افزایش روند سازگاری سلول با شرایط سخت ایسکمی می‌شود که شامل افزایش زمان انعقاد خون و نیز افزایش ایترلوکین‌ها می‌باشند. ژن‌هایی که روند سازشی برای ایسکمی در بافت را به صورت پدیده تحمل به ایسکمی به نمایش می‌گذارند عبارتند از: افزایش دهنده‌ها میزان اکسیژن تحولی، تنظیم‌کننده‌های انرژی و متابولیسم و افزاینده‌های توان بقایی سلول و توانایی تکثیر آن (۳۲).

نتیجه‌گیری

نتایج این تحقیق نشان می‌دهد: ۱- هیپرکسی نورموباریک متناوب تحمل به ایسکمی را به وجود می‌آورند و باعث کاهش میزان نقص نورولوژیک می‌شوند. ۲- هیپرکسی نورموباریک متناوب و هیپرکسی نورموباریک متناوب توأم با

منابع

- 1- Romera C, Hurtado O, Botella S, et al. *In vitro* ischemic tolerance involves upregulation of glutamate transport partly mediated by the TACE/ADAM17–tumor necrosis factor- α pathway. *J Neurosci*. 2004; 24(6): 1350–7.
- 2- Gidday JM, Fitzgibbons JC, Shah AR, Park TS. Neuroprotection from ischemic brain injury by hypoxic preconditioning in the neonatal rat. *Neurosci Lett*. 1994; 168: 221–4.
- 3- Kitagawa K, Matsumoto M, Tagaya M, et al. Ischemic tolerance phenomenon found in the brain. *Brain Res*. 1990; 528: 21–4.
- 4- Plamondon H, Blondeau N, Heurteaux C, Lazdunski M. Mutually protective actions of kainic acid epileptic preconditioning and sublethal global ischemia on hippocampal neuronal death: involvement of adenosine A1 receptors and K(ATP) channels. *J Cereb Blood Flow Metab*. 1999; 19: 1296–308.
- 5- Perez-Pinzon MA, Mumford PL, Rosenthal M, Sick TJ. Anoxic preconditioning in hippocampal slices: role of adenosine. *Neuroscience*. 1996; 75: 687–94.
- 6- Matsushima K, Hogan MJ, Hakim AM. Cortical spreading depression protects against subsequent focal cerebral ischemia in rats. *J Cereb Blood Flow Metab*. 1996; 16: 221–6.
- 7- Chopp M, Chen H, Ho KL, et al. Transient hyperthermia protects against subsequent forebrain ischemic cell damage in the rat. *Neurology*. 1989; 39: 1396–8.

- 8- Ohtsuki T, Matsumoto M, Kuwabara K, et al. Influence of oxidative stress on induced tolerance to ischemia in gerbil hippocampal neurons. *Brain Res.* 1992; 599: 246–52.
- 9- Patel AJ, Honore' E, Maingret F, et al. A mammalian two pore domain mechanogated S-type K⁺ channel. *EMBO J.* 1998; 17: 4283–90.
- 10- Riepe MW, Esclaire F, Kasischke K, et al. Increased hypoxic tolerance by chemical inhibition of oxidative phosphorylation: "chemical preconditioning." *J Cereb Blood Flow Metab.* 1997; 17: 257–64.
- 11- Zhang X, Xiong L, Hu W, et al. Preconditioning with prolonged oxygen exposure induces ischemic tolerance in the brain via oxygen free radical formation. *Can J Anesth.* 2004; 51: 258–63.
- 12- Dong H, Xiong L, Zhenghua Z, et al. Preconditioning with hyperbaric oxygen and hyperoxia induce tolerance against spinal cord ischemia in rabbits. *Anesthesiology.* 2002; 96: 907–12.
- 13- Downey JM, Cohen MV, Ytrehus K, Liu Y. Cellular mechanisms in ischemic preconditioning: the role of adenosine and protein kinase C. *Ann NY Acad Sci.* 1994; 723: 82–98.
- 14- Baxter GF. Ischaemic preconditioning of myocardium. *Ann Med.* 1997; 29: 345–52.
- 15- Carroll R, Yellon DM. Myocardial adaptation to ischaemia - the preconditioning phenomenon. *Int J Cardiol.* 1999; 68: S93–S101.
- 16- Edwards RJ, Saurin AT, Rakhit RD, Marber MS. Therapeutic potential of ischemic preconditioning. *Br J Clin Pharmacol.* 2000; 50: 87–97.
- 17- Barone FC, Feuerstein GZ. Inflammatory mediators and stroke: new opportunities for novel therapeutics. *J Cereb Blood Flow Metab.* 1999; 19: 819–34.
- 18- Shohami E, Ginis I, Hallenbeck JM. Dual role of tumor necrosis factor alpha in brain injury. *Cytokine Growth Factor Rev.* 1999; 10: 119–30.
- 19- Del Zoppo G, Ginis I, Hallenbeck JM, et al. Inflammation and stroke: putative role for cytokines, adhesion molecules and iNOS in brain response to ischemia. *Brain Pathol.* 2000; 10: 95–112.
- 20- Hallenbeck JM. The many faces of tumor necrosis factor in stroke. *Nat Med.* 2002; 8: 1363–68.
- 21- Liu J, Ginis I, Spatz M, Hallenbeck JM. Hypoxic preconditioning protects cultured neurons against hypoxic stress via TNF-α and ceramide. *Am J Physiol Cell Physiol.* 2000; 278: C144–C153.
- 22- Wang X, Li X, Erhardt JA, Barone FC, Feuerstein GZ. Detection of TNF-α mRNA induction in ischemic brain tolerance by means of realtime polymerase chain reaction. *J Cereb Blood Flow Metab.* 2000; 20: 15–20.
- 23- Hurtado O, Lizasoain I, Fernandez-Tome P, et al. TACE/ADAM17-TNF-α pathway in rat cortical cultures after exposure to oxygen-glucose deprivation or glutamate. *J Cereb Blood Flow Metab.* 2002; 22: 576–85.

- 24- Pradillo J, Hurtado O, Romera C, et al. TNF-R1 mediates increased neuronal membrane EAAT3 expression after in vivo cerebral ischemic preconditioning. *J Neurosci.* 2006; 138, 1171–8.
- 25- Longa E, Weinstein P, Carlson S, Cummins R. Reversible middle cerebral artery occlusion without craniectomy in rats. *Stroke.* 1989; 20: 84-91.
- 26- Swanson RA, Morton MT, Tsao-Wu G, et al. A semiautomated method for measuring brain infarct volume. *J Cereb Blood Flow Metab.* 1990; 10(2): 290-3.
- 27- Dittmar M, Spruss T, Schuierer G, Horn M. External carotid artery territory ischemia impairs outcome in the endovascular filament model of middle cerebral artery occlusion in rats. *Stroke.* 2003; 34: 2252-7.
- 28- Robinson MB. The family of sodium-dependent glutamate transporters: a focus on the GLT-1/EAAT2 subtype. *Neurochem Int.* 1998; 33: 479–91.
- 29- Namura S, Maeno H, Takami S, et al. Inhibition of glial glutamate transporter GLT-1 augments brain edema after transient focal cerebral ischemia in mice. *Neurosci Lett.* 2002; 324: 117–20.
- 30- Yamashita A, Makita K, Kuroiwa T, Tanaka K. Glutamate transporters GLAST and EAAT4 regulate postischemic Purkinje cell death: An in vivo study using a cardiac arrest model in mice lacking GLAST or EAAT4. *Neurosci Res.* 2006; 55: 264–70.
- 31- Rosenzweig HL, Minami M, Lessov NS, et al. Endotoxin preconditioning protects against the cytotoxic effects of TNFalpha after stroke: a novel role for TNFalpha in LPS-ischemic tolerance. *J Cereb Blood Flow Metab.* 2007; 27(10): 1663-74.
- 32- Murry CE, Jennings RB, Reimer KA. Preconditioning with ischemia: a delay of lethal cell injury in ischemic myocardium. *Circulation.* 1986; 7: 1124 – 36.

Investigation of TNF- α Converting Enzyme and Activity of NF-KB in Tolerance to Ischemia Induced by Intermittent Normobaric Hyperoxia in Rat Model

Rahnema M, Bigdeli MR

Corresponding Author's Address: Department of Biology, Islamic Azad University of zanjan, Iran.

Email: meh_rahnema@yahoo.com

Background and objective: Recent studies suggest that intermittent and prolonged normobaric hyperoxia (HO) results in ischemic tolerance to reduce brain injury. In this research attempts were made to see the changes in TNF- α converting enzyme (TACE) and NF-kB activity following intermittent HO and ischemia preconditioning.

Materials and Methods: The rats were divided into two experimental groups, each consisted of 20 animals. The first group was exposed to 95% inspired HO for 4h/day for 6 consecutive days (intermittent HO; InHO). The second group acting as the control, was exposed to 21% oxygen in the same chamber (normobaric normoxia or room air; RA) continuously for six days (intermittent RA; InRA). Each main group was subdivided to MCAO-operated (middle cerebral artery occlusion), sham-operated (without MCAO), and intact (without any surgery) subgroups. After 24hr, MCAO-operated subgroups were subjected to 60 min of right MCAO. After 24 h reperfusion, neurologic deficit score (NDS) and infarct volume were assessed in MCAO-operated subgroups. Immediately and 48 h after pretreatment, blood sampling for assessment of serum TNF- α levels were subjected. Then, the effect of intermittent HO and ischemia on NF-kB activity and TACE expression were measured.

Results: Preconditioning with intermittent HO and ischemia decreased NDS and infarct volume. Moreover InHO and MCAO-InHO upregulate TACE and increase NF-kB activity significantly.

Conclusion: Although further studies are needed to clarify the mechanisms of ischemic tolerance, InHO and ischemia seem to partly exert their effects via increase upregulation of TACE and NF-kB activity.

Key words: Normobaric hyperoxia, Brain ischemia tolerance, Stroke, TACE, NF-kB activity